

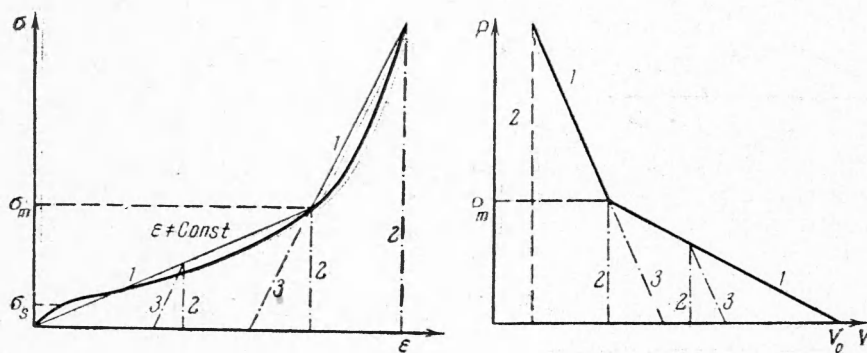
ВЗАИМОДЕЙСТВИЕ УДАРНОЙ ВОЛНЫ  
В УПРУГО-ПЛАСТИЧЕСКОЙ СРЕДЕ СО СМЕЩАЮЩЕЙСЯ  
ПРЕГРАДОЙ

Г. М. Ляхов, Н. И. Полякова

(Москва)

Ранее [1] было рассмотрено взаимодействие с преградой волны в упруго-пластической среде с переменным знаком кривизны зависимости напряжения от деформации  $\sigma = \sigma(\epsilon)$ . Исследовался случай малых напряжений, лежащих на вогнутом участке диаграммы  $\sigma = \sigma(\epsilon)$ , когда волна не имеет скачка давления на фронте. Ниже на основе [1, 2] дается решение задачи о взаимодействии плоской волны со сдвигающейся преградой или границей сред в случае больших напряжений, соответствующих выпуклому относительно оси  $\epsilon$  участку диаграммы  $\sigma(\epsilon)$ . Волна при этом является ударной.

1. Рассмотрим модель среды с нелинейной зависимостью  $\sigma = \sigma(\epsilon)$ . При малых  $\sigma$  имеем  $d^2\sigma / d\epsilon^2 < 0$ , а при больших  $d^2\sigma / d\epsilon^2 > 0$ . Сжатие и разгрузка при  $\sigma < \sigma_s$  протекают упруго, т. е. по одному закону, а при  $\sigma > \sigma_s$  — по разным законам. Вторичное нагружение происходит по закону разгрузки до напряжения, достигнутого при первом сжатии. Такая модель применима к грунту и некоторым твердым средам.



Фиг. 1 а, б

Будем рассматривать большие напряжения, поэтому можно считать упругий участок малым и аппроксимировать зависимость  $\sigma = \sigma(\epsilon)$  при нагрузке двумя прямыми (фиг. 1).

Рассмотрим два варианта аппроксимации кривой разгрузки. В первом случае примем, что разгрузка происходит при неизменной остаточной деформации, т. е. по линии, параллельной оси  $\sigma$ , во втором случае линия разгрузки параллельна второму участку линеаризованной диаграммы сжатия  $\sigma = \sigma(\epsilon)$ .

На фиг. 1, а и б ломаная 1 соответствует линии нагрузки, прямые 2 — линиям разгрузки при неизменной остаточной деформации, прямые 3 — линиям разгрузки, параллельным второму участку ломаной 1.

Распространение волны при первом законе разгрузки рассматривалось В. Н. Родионовым, А. Я. Сагомояном и другими авторами; отражение от неподвижной преграды при аппроксимации кривой сжатия  $\sigma = \sigma(\epsilon)$  одной прямой — С. Калиским и Я. Осецким [3].

Перейдем от параметров  $\sigma$ ,  $\epsilon$  к параметрам давление  $p$  и объем  $V$ .

При распространении плоской волны в среде, безграничной в направлении, перпендикулярном к ее движению, или в стержне, ограниченном несжимаемой оболочкой, сжатие среды соответствует одноосному деформированному состоянию. При этом

$$\sigma = -p, \quad \epsilon = (V - V_0) / V_0 \quad (1.1)$$

В силу (1.1) зависимость  $p = p(V)$  будет линейной, если линейна связь  $\sigma = \sigma(\epsilon)$ .

Уравнения звеньев, аппроксимирующих кривую сжатия, в системе единиц  $p, V$  имеют вид

$$p = -A_1^2 V + B_1 \quad \text{при } p \leq p_m, \quad p = -A_2^2 V + B_2 \quad \text{при } p > p_m \\ (A, B = \text{const}) \quad (1.2)$$

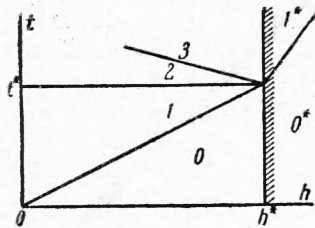
Тепловые потери энергии при сжатии среды определяются площадью фигуры в плоскости  $pV$ , ограниченной прямой, соединяющей на графике сжатия  $p = p(V)$  точки, соответствующие давлению на фронте и перед ним, и линией разгрузки. Поэтому при первом законе разгрузки ( $\partial V / \partial t = 0$ ) потери энергии при движении волны являются максимально возможными при заданном законе сжатия  $p = p(V)$ .

2. Рассмотрим взаимодействие волны с преградой в случае, когда линия разгрузки параллельна оси  $p$ . Пусть при  $t = 0$  в начальном сечении среды  $h = 0$  давление скачком возрастает до  $p_m$ , а затем падает по заданному закону

$$p = f(t) \quad (2.1)$$

По среде станет распространяться ударная волна. Течение за фронтом ударной волны в координатах Лагранжа, где  $h$  — масса,  $t$  — время, определяется уравнениями движения

$$\frac{\partial u}{\partial t} + \frac{\partial p}{\partial h} = 0, \quad \frac{\partial u}{\partial h} - \frac{\partial V}{\partial t} = 0 \quad (2.2)$$



Фиг. 2

Здесь  $u$  — скорость частиц.

В нашем случае за фронтом (область 1 на фиг. 2) происходит разгрузка среды при  $\partial V / \partial t = 0$ , отсюда решение уравнений (2.2) получим в виде

$$\frac{\partial u}{\partial h} = 0, \quad u = \varphi_1(t), \quad \frac{\partial p}{\partial h} = -\dot{\varphi}_1(t), \quad p = -h\dot{\varphi}_1(t) + \psi_1(t) \quad (2.3)$$

Функции  $\varphi_1(t)$  и  $\psi_1(t)$  должны быть определены из начальных и граничных условий задачи.

При  $h = 0$  имеем  $p = f(t)$ . Отсюда  $\psi_1(t) = f(t)$ . Соотношения на фронте ударной волны в координатах  $h, t$  имеют вид

$$p - p_0 = h^2 (V_0 - V), \quad u - u_0 = h (V_0 - V) \quad (2.4)$$

где  $h$  — скорость фронта. Положим давление и скорость частиц перед фронтом волны  $p_0 = 0, u_0 = 0$ . Пусть максимальное давление в сечении  $h = 0$  соответствует максимальному значению  $p_m$  на первом участке аппроксимации. Тогда  $\dot{h} = A_1$ . На линии фронта  $h = A_1 t$  имеем

$$p = A_1 u, \quad f(t) - h\dot{\varphi}_1(t) - A_1\varphi_1(t) = 0 \quad (2.5)$$

Интегрируя последнее уравнение, найдем  $\varphi_1(t)$ . Таким образом, получено решение в области 1

$$p(h, t) = -h\dot{\varphi}_1(t) + f(t), \quad u = \varphi_1(t) \quad (2.6)$$

Если в начальном сечении  $p$  задано в виде

$$p(t) = p_m \left(1 - \frac{t}{\theta}\right) \quad (2.7)$$

то, интегрируя (2.5), найдем, что в области 1

$$u = \varphi_1(t) = \frac{p_m}{A_1} \left(1 - \frac{t}{2\theta}\right), \quad p = p_m \left(1 - \frac{t}{\theta} + \frac{h}{2A_1\theta}\right) \quad (2.8)$$

Пусть в сечении  $h = h^*$  расположена преграда (или граница сред). Зависимость  $p = p(V)$  во второй среде за преградой аппроксимируем прямой

$$p = -A^{*2}V + B^* \quad (2.9)$$

При  $t^* = h^* / A_1$  фронт волны достигнет преграды. При отражении образуются: область 2 — отраженной ударной волны, область 3 — отраженной пластической волны, область  $I^*$  — проходящей волны за преградой. В области 2 происходит нагрузка среды по линии разгрузки ( $V = V(h)$ ) до предела упругости, разного у различных частиц. Решение в области 2 в соответствии с (2.3)

$$p = -h\varphi_2(t) + \psi_2(t), \quad u = \varphi_2(t) \quad (2.10)$$

При  $h = 0$  имеем  $p = f(t)$ . Отсюда  $\psi_2(t) = f(t)$ . Скорость фронта

$$\dot{h} = \sqrt{\frac{p_2 - p_1}{V_1 - V_2}} \quad (2.11)$$

Скорость определяется углом наклона секущей на диаграмме  $p = p(V)$ , проведенной из точки, где  $p_2$  соответствует давлению на фронте в точку, где  $p_1$  — давление перед фронтом. Если время действия волны  $\theta$  в сечении  $h = 0$  велико, то максимальное давление в падающей волне уменьшается с возрастанием  $h$  незначительно. Отраженная волна движется по области с малыми изменениями давления. Поэтому скорость фронта отраженной волны (при  $p > p_m$ ) может быть принята постоянной, равной в силу нашей аппроксимации —  $A_2$ . Тогда уравнение линии фронта 2-3 (фиг. 2)

$$h = -A_2t + \frac{A_1 + A_2}{A_1} h^* \quad (2.12)$$

На этой линии в области 2 давление в каждой частице достигает значения, которое было на фронте падающей волны  $h = A_1t$ . Отсюда в силу (2.10)

$$\dot{\varphi}_2(t) = \dot{\varphi}_1(\lambda) + [f(t) - f(\lambda)] / A_1\lambda \quad (2.13)$$

$$\lambda = [(A_1 + A_2)t^* - A_2t] / A_1$$

Интегрируя это уравнение при условии  $\varphi_2(t^*) = \varphi_1(t^*)$ , найдем  $\varphi_2(t)$ , что совместно с условием  $\psi_2(t) = f(t)$  определяет течение в области 2.

Если при  $h = 0$  давление задано уравнением (2.7), то из (2.13) найдем, что в области 2

$$\dot{\varphi}_2(t) = \frac{p_m}{2A_1\theta} \left(1 - \frac{2t}{\lambda}\right) \\ \varphi_2(t) = \frac{p_m}{2A_1} \left[ \frac{(A_2 + 2A_1)(t - t^*)}{A_2\theta} + \frac{2(A_1 + A_2)h^*}{A_2^2\theta} \ln \frac{\lambda}{t^*} - \frac{t^*}{\theta} + 2 \right] \quad (2.14)$$

В области 3 происходит разгрузка среды, решение имеет вид (2.3).

Условие на преграде: скорость частиц среды, примыкающих к преграде с обеих сторон, равна скорости преграды  $\varphi_3(t)$ . Давление, действующее

со стороны второй среды, при выполнении условия (2.9) связано со скоростью частиц соотношением  $p = A^*u = A^*\dot{\varphi}_3(t)$ .

Отсюда уравнение движения преграды в области 3 имеет вид

$$m\dot{\varphi}_3(t) = -h^*\dot{\varphi}_3(t) + \psi_3(t) - A^*\varphi_3(t)$$

где  $m$  — масса преграды, приходящаяся на единицу площади поперечного сечения. Индекс 3 относится к области 3. Функцию  $\psi_3(t)$  найдем из условия на фронте отраженной волны. В соответствии с (2.4) и (2.3)

$$\begin{aligned} p_3 - p_2 &= -A_2(u_3 - u_2), \quad -h\dot{\varphi}_3(t) + h\dot{\varphi}_2(t) + \psi_3(t) - f(t) = \\ &= A_2[\varphi_2(t) - \varphi_3(t)] \end{aligned} \quad (2.15)$$

Исключив при помощи (2.15) функцию  $\psi_3$ , преобразуем уравнение движения к виду

$$\begin{aligned} (A_2t - A_2t^* + m)\dot{\varphi}_3(t) &= -(A_2 + A^*)\varphi_3(t) + \\ + A_2\varphi_2(t) - [(A_1 + A_2)t^* - A_2t] \dot{\varphi}_2(t) + f(t) \end{aligned} \quad (2.16)$$

Интегрируя это уравнение, при условии, что  $\varphi_3(t^*) = 0$ , найдем скорость преграды  $\dot{\varphi}_3(t)$ . Определив  $\varphi_3(t)$  из (2.15), получим решение в области 3. Если преграда неподвижна ( $m = \infty$ ), то в области 3 скорость частиц равна нулю  $\dot{\varphi}_3(t) = 0$ . Из (2.15) получим

$$p(t) = \psi_3(t) = A_2\varphi_2(t) + f(t) - \dot{\varphi}_2(t)A_1\lambda \quad (2.17)$$

Если при этом в сечении  $h = 0$  выполняется условие (2.7), то в области 3 давление определяется уравнением

$$p(t) = \frac{A_1 + A_2}{A_1} p_m \left( 1 + \frac{t}{\theta} - \frac{3t^*}{2\theta} + \frac{A_1 t^*}{A_2 \theta} \ln \frac{\lambda}{t^*} \right) \quad (2.18)$$

Отсюда получим

$$p = \frac{A_1 + A_2}{A_1} p_m \left( 1 - \frac{t^*}{2\theta} \right) \quad \text{при } t = t^*$$

В падающей волне в этот момент времени в соответствии с (2.8)

$$p = p_m \left( 1 - \frac{t^*}{2\theta} \right)$$

Отсюда коэффициент отражения от преграды

$$\eta = \frac{A_1 + A_2}{A_1} > 2 \quad (2.19)$$

Если при  $h = 0$  давление задано в виде (2.7) и масса  $m$  конечна, то, вводя новую переменную  $\tau = t - t^*$ , получим дифференциальное уравнение движения преграды (2.16) в области 3 в виде

$$\begin{aligned} (m + A_2\tau)\dot{\varphi}_3(\tau) + (A_2 + A^*)\varphi_3(\tau) &= \\ = p_m \frac{A_1 + A_2}{A_1} \left[ 1 + \frac{\tau}{\theta} - \frac{t^*}{2\theta} + \frac{A_1 t^*}{A_2 \theta} \ln \left( 1 - \frac{A_2 \tau}{A_1 t^*} \right) \right] \end{aligned} \quad (2.20)$$

Решение этого уравнения, т. е. выражение для скорости преграды в области 3, при  $A_1^* = A_1 = A_2/2$  имеет вид

$$\begin{aligned} \varphi_3(\tau) &= \frac{2p_m}{A_2} \left\{ \left( 1 - \frac{5t^*}{6\theta} - \frac{2m}{5A_2\theta} \right) (1 - \alpha^{3/2}) + \frac{3}{5} \frac{\tau}{\theta} + \frac{t^*}{2\theta} \ln \left( 1 - \frac{2\tau}{t^*} \right) - \right. \\ &\left. - \frac{t^*}{\theta} \left[ (1 - \alpha^{1/2}) \alpha\beta - \frac{1}{2} (\alpha\beta)^{3/2} \ln \frac{\sqrt{\alpha\beta + 1} (\sqrt{\beta} - 1)}{(\sqrt{\alpha\beta} - 1) (\sqrt{\beta} + 1)} \right] \right\} \end{aligned} \quad (2.21)$$

где

$$\alpha = \frac{m}{m + A_2\tau}, \quad \beta = 1 + \frac{h^*}{m},$$

При больших значениях  $t^*/\theta$  падение давления на фронте падающей волны на участке  $0 < h < h^*$  велико и скорость фронта отраженной пластической волны может сильно отличаться от  $-A_2$ . В этом случае течение в областях 2 и 3 должно быть найдено при одновременном определении границы между ними.

Если зависимость  $p(V)$  при сжатии аппроксимируется одной прямой, имеющей наклон  $A_1$ , а разгрузка происходит по вертикали, то, полагая в уравнении (2.20)  $A^* = A_2 = A_1$ , найдем его решение в виде

$$\varphi_3(\tau) = \frac{P_m}{A_1} \left\{ \left( 1 - \frac{t^*}{2\theta} - \frac{m}{A_1\theta} \right) (1 - \alpha^2) + \frac{2}{3} \frac{m}{A\theta} \left( \frac{1}{\alpha} - \alpha^2 \right) + \right. \\ \left. + \frac{t^*}{\theta} \left[ \frac{1}{2} \left[ \left( \alpha + \frac{\alpha}{\beta} \right)^2 - \left( 1 + \frac{\alpha}{\beta} \right)^2 \right] + \left( 1 - \frac{\alpha^2}{\beta^2} \right) \ln \frac{1 - \alpha/\beta}{\alpha - \alpha/\beta} \right] \right\}$$

Здесь

$$\alpha = \frac{m}{m + A_1\tau}, \quad \beta = \frac{m}{m + A_1t^*}$$

Скорость фронта отраженной пластической волны равна  $-A_1$ .

В зависимости от параметров падающей волны, характеристик сред по обе стороны от преграды, массы и удаления преграды от начального сечения возможны различные конфигурации системы отраженных волн (в частности, области разгрузки могут сменяться областями нагрузки и т. д.).

3. Рассмотрим взаимодействие волны с преградой в случае, когда линия разгрузки непараллельна оси  $p$ . Пусть в сечении  $h = 0$  давление меняется в соответствии с (2.7). Аппроксимируем кривую сжатия среды прямыми (1.2), а линию разгрузки — прямой

$$p = -A_2^2 V + B_2 \quad (3.1)$$

где  $B_2$  зависит от значения максимального напряжения, достигнутого при сжатии;  $p_m$  соответствует максимальному давлению на первом участке аппроксимации. Решение уравнений (2.2), определяющих течение за фронтом волны, образующейся в среде, при линейной аппроксимации зависимости  $p = p(V)$ , как было показано в [1], имеет вид

$$p = F_1(h - A_2 t) + F_2(h + A_2 t), \quad A_2 u = F_1(h - A_2 t) - F_2(h + A_2 t) \quad (3.2)$$

Функции  $F_1$  и  $F_2$  определяются начальными и граничными условиями. Течение за фронтом волны (область I на фиг. 3), найденное из (3.2) в соответствии с [1], определяется уравнениями

$$p = p_m \left( 1 - \frac{A_2^2 + A_1^2}{2A_1 A_2^2} \frac{h}{\theta} - \frac{t}{\theta} \right) \quad (3.3) \\ A_2 u = p_m \left( \frac{A_2}{A_1} + \frac{h}{A_2 \theta} - \frac{A_1^2 + A_2^2}{2A_1 A_2} \frac{t}{\theta} \right)$$

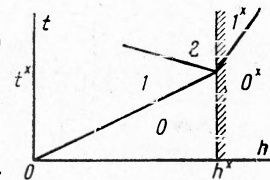
При  $t = h^*/A_1 = t^*$  фронт достигает преграды. При этом образуются области 2 и I'. Как и в п. 2, примем уравнение фронта отраженной волны в виде (2.12), а зависимость  $p = p(V)$  во второй среде за преградой в виде (2.9).

Область, соответствующая области 2 на фиг. 2, в рассматриваемом случае не возникает, так как скорость фронта отраженной волны совпадает со скоростью разгрузки. Условие на границе I-2 (фиг. 3)

$$p_2 + A_2 u_2 = p_1 + A_2 u_1 \quad (3.4)$$

дает, что из области 1 в 2 переходит функция

$$F_1(h - A_2 t) = p_m \left\{ \frac{A_1 + A_2}{2A_1} + \frac{(A_1 + A_2)^2}{4A_1 A_2^2 \theta} (h - A_2 t) \right\} \quad (3.5)$$



Фиг. 3.



Отсюда дифференциальное уравнение движения преграды

$$m\dot{\varphi}(t) = p_2 - p_1^\times = 2F_1(h^\times - A_2 t) - (A_2 + A_1^\times)\varphi(t)$$

или

$$\dot{\varphi} + C\varphi + Bt + D = 0 \quad (3.6)$$

где

$$C = \frac{A_2 + A_1^\times}{m}, \quad B = \frac{(A_1 + A_2)^2 p_m}{2A_1 A_2 \theta m}, \quad D = -p_m \frac{A_1 + A_2}{mA_1} \left[ 1 + \frac{(A_1 + A_2) h^\times}{2A_2 \theta} \right]$$

Интегрируя (3.6) при условии  $\varphi(t^\times) = 0$ , найдем скорость преграды

$$\varphi(t) = \frac{B}{C} \left\{ -t + \frac{h^\times}{A_1} + \left( \frac{1}{C} - \frac{D}{B} - \frac{h^\times}{A_1} \right) (1 - \exp[-C(t - \frac{h^\times}{A_1})]) \right\} \quad (3.7)$$

Определим вторую функцию в области 2 из условия

$$F_1(h^\times - A_2 t) - F_2(h^\times + A_2 t) = A_2 \varphi(t)$$

Отсюда

$$F_2(h + A_2 t) = \frac{A_1 + A_2}{2A_1} p_m \left\{ 1 + \frac{A_1 + A_2}{2A_2 \theta} (2h^\times - h - A_2 t) \right\} - A_2 \varphi\left(\frac{h - h^\times + A_2 t}{A_2}\right)$$

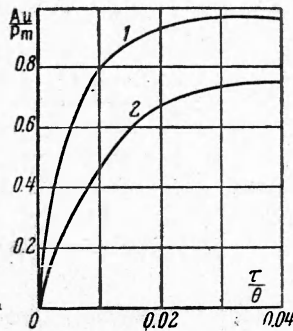
Решение в области 2

$$p = \frac{A_1 + A_2}{A_1} p_m \left[ 1 + \frac{A_1 + A_2}{2A_2 \theta} h^\times - \frac{A_1 + A_2}{2A_2 \theta} t \right] - A_2 \varphi\left(\frac{h - h^\times + A_2 t}{A_2}\right) \quad (3.8)$$

$$u = \frac{A_1 + A_2}{2A_1 A_2^2} p_m \left( \frac{h - h^\times}{\theta} \right) + \varphi\left(\frac{h - h^\times + A_2 t}{A_2}\right)$$

Решение в области 1<sup>\*</sup> находим из условия на фронте проходящей волны  $p_1^\times - A^\times u_1^\times = 2F_2^\times = 0$  и условия, что при  $h = h^\times$  скорость частиц равна скорости преграды

$$p = A^\times u = F_1^\times(h - A^\times t) = A^\times \varphi\left(\frac{h^\times - h + A^\times t}{A^\times}\right)$$



Фиг. 4

Скорость преграды, определяемая уравнением (3.7), сначала растет, а затем падает. Дифференцируя (3.7) и приравняв производную нулю, найдем, что максимальное значение скорости достигается в момент времени  $\tau$ , определяемый из условия

$$\exp\left[-C\left(\tau - \frac{h^\times}{A_1}\right)\right] = \frac{A_1 B}{A_1 B - A_1 C D - B C h^\times} =$$

$$= \left[ 1 + \frac{A^\times + A_2}{A_1 + A_2} \frac{2A_2 \theta}{m} + \frac{(A^\times + A_2)(A^\times - A_2) h^\times}{A_1 A_2 m} \right]^{-1} \quad (3.9)$$

Если  $m = \infty$ , то в области 2 при  $h = h^\times$

$$u = 0, \quad F_1(h^\times - A_2 t) - F_2(h^\times + A_2 t) = 0$$

Отсюда

$$F_2(h + A_2 t) = F_1(2h^\times - h - A_2 t) = p_m \frac{A_1 + A_2}{2A_1} \times$$

$$\times \left[ 1 + \frac{A_1 + A_2}{2A_2 \theta} (2h^\times - h - A_2 t) \right]$$

$$p = p_m \frac{A_1 + A_2}{A_1} \left[ 1 + \frac{A_1 + A_2}{2A_2 \theta} (h^\times - A_2 t) \right], \quad u = \frac{p_m (A_1 + A_2)^2}{2A_1 A_2^3} (h - h^\times) \quad (3.10)$$

Если  $m = 0$ , то из (3.6) получим, что при  $h = h^\times$

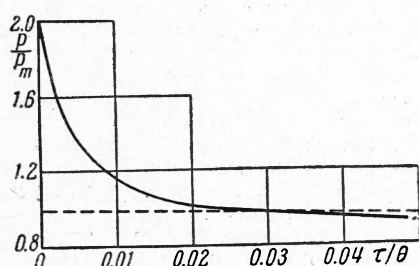
$$\varphi(t) = \frac{2F_1(h^\times - A_2 t)}{A^\times + A_2} = \frac{(A_1 + A_2) p_m}{(A^\times + A_2) A_1} \left[ 1 + \frac{A_1 + A_2}{2A_2 \theta} (h^\times - A_2 t) \right] \quad (3.11)$$

4. Анализ закономерности движения преграды проведем для простейшего случая, когда зависимость  $\sigma(\varepsilon)$  при сжатии аппроксимируется одной прямой.

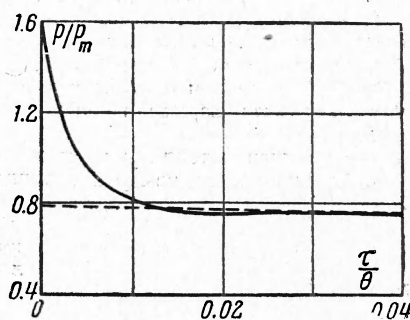
Рассмотрим результаты расчета скорости преграды, представленные на фиг. 4 двумя графиками, соответствующими различным моделям среды.

В обоих случаях масса преграды  $m$ , удаление ее от начального сечения  $h^*$  и изменение давления в сечении  $h=0$  (уравнение (2.7)) приняты одинаковыми.

Графики соответствуют одинаковому закону сжатия среды (одно прямолинейное звено), однако линия разгрузки различна: кривая 1 — линия разгрузки совпадает с линией нагрузки; кривая 2 — линия разгрузки параллельна оси  $p$ .



Фиг. 5а



Фиг. 5б

При этих условиях во втором случае потери энергии при движении падающей и отраженной волн, как отмечалось выше, наибольшие, а в первом — наименьшие.

Различие в характере графиков связано с различием в потерях энергии. С увеличением потерь значение максимальной скорости преграды уменьшается.

На фиг. 5а и 5б показано изменение давления на преграду при ее движении для этих двух моделей сред: фиг. 5а — среда подчиняется закону Гука; фиг. 5б — линия разгрузки вертикальна. Пунктиром на фиг. 5а и 5б показано давление в волне в сечении  $h=h^*$  при отсутствии преграды. Как видно из фигур, наличие преграды заметно искажает волну лишь в течение небольшого, по сравнению с  $\theta$ , промежутка времени.

Таким образом, в упруго-пластической среде с вертикальной разгрузкой, так же как и в линейно упругой среде, подчиняющейся закону Гука, даже преграда с относительно большой массой вовлекается в движение вместе со средой за промежуток времени, малый по сравнению со временем действия волны.

Этот вывод относится также и к средам с наклонной линией разгрузки.

Поступила 18 V 1962

#### ЛИТЕРАТУРА

1. Ляхов Г. М. и Полякова Н. И. Распространение и взаимодействие волн сжатия и разрежения в упруго-пластических средах. Изв. АН СССР, ОТН. Механика и машиностроение, 1960, № 3.
2. Ляхов Г. М. О взаимодействии ударных волн в водонасыщенном грунте и в воде. Изв. АН СССР, ОТН, Механика и машиностроение, 1961, № 1.
3. Kaliski S., Osiecki J. The Problem of Reflection by a Rigid or Elastic Wall of an Unloading Wave in a Body with Rigid Unloading Characteristic. Proc. of Vibr. Problems, Warsaw, 1959, № 1.